

Оптические свойства легированных квазидвумерных систем

© Э.П. Синявский, С.М. Соковнич

Приднестровский государственный университет,
MD-3300 Тирасполь, Молдавия

(Поступила в Редакцию 22 октября 1999 г.)

С привлечением идеи многофононных оптических переходов объясняется широкий класс экспериментальных данных по люминесценции в легированных квазидвумерных системах. Для описания локализованных состояний в прямоугольных квантовых ямах используется модель потенциала нулевого радиуса. В частности, показано, что интенсивность люминесценции немонотонно зависит от положения легированных акцепторов, а полуширина пика люминесценции уменьшается при удалении примесей от центра размерно-ограниченной системы. Исследуются особенности люминесценции, возникающие в продольном магнитном поле.

В последние годы интенсивно изучаются процессы люминесценции, определяемые переходом электрона из нижней размерно-квантованной зоны проводимости на связанные состояния в размерно-ограниченных структурах (гетероструктуры, одиночные квантовые ямы, сверхрешетки). При зона-зонных переходах наблюдаются узкие линии фотолюминесценции (ФЛ) при низких температурах. В GaAs–Al_xGa_{1-x}As при $T = 2$ К (толщина квантовой ямы $a = 20$ Å) полуширина Δ_0 ФЛ достигает 7 meV [1] и при $T = 4$ К ($a = 50$ К) $\Delta_0 \approx 2.7$ meV [2], а в In_xGaAs–GaAs при 5 К ($a = 37$ Å) $\Delta_0 \approx 1.4$ meV [3].

В легированных размерно-ограниченных системах возможны переходы электронов на акцепторные состояния с излучением электромагнитной волны. В области высоких температур в одиночных квантовых ямах (КЯ) GaAs–AlGaAs наблюдаются широкие линии ФЛ с $\Delta_0 \approx 70$ meV [1] при $T = 180$ К, которые с ростом температуры уширяются и уменьшаются по интенсивности. Аналогичное поведение линий ФЛ наблюдалось в КЯ Ga_{0.47}In_{0.53}As–Al_{0.48}In_{0.52}As [4] (акцептор Be расположен в центре КЯ, полуширина линий излучения $\Delta_0 \approx 96$ meV при $T = 110$ К). Такое поведение линий ФЛ связано, вероятно, с участием в оптических переходах многих колебательных квантов. Возможность многофононных оптических переходов электрона из зоны проводимости на акцепторные состояния в КЯ GaAs–Al_xGa_{1-x}As ($a \cong 30$ Å, акцептор С) обсуждалось в [5]. Исследование люминесцентных свойств электронного газа высокой плотности в GaAs–Al_{0.3}Ga_{0.7}As (энергия Ферми $E_F = 37.5$ meV, $a = 200$ Å), связанных с акцепторными состояниями Si, проводилось в [6]. Показано, что с увеличением температуры ($T = 4.2 - 110$ К) пики ФЛ уменьшаются и уширяются. Детальные экспериментальные исследования излучательной рекомбинации двумерного электронного газа на акцептор в простых гетероструктурах GaAs–Al_xGa_{1-x}As проводились в [7–10], в структурах с множественными ямами — в [11–15], в одиночных легированных КЯ InGaAs–GaAs — в [15]. Теоретические исследования ФЛ на акцепторные состояния в КЯ проводились в [16–18]. При расчетах предполагалось, что водородоподобные акцепторные примеси распределены в размерно-ограниченной системе равномерно. В настоящее время благодаря развитой

технологии возможно детальное исследование оптических переходов на связанные состояния в зависимости положения примеси от поверхности размерно-квантовой системы. В [7] показано, что интенсивность ФЛ как функция от расстояния между поверхностью и δ -легированными акцепторами носит явно немонотонный характер. Полуширина линий излучения, связанная с переходом электронов из высших размерно-квантовых зон на акцепторные состояния, при приближении примеси к границе гетероструктуры уменьшается. В КЯ излучательная рекомбинация происходит наиболее активно, если акцепторы легированы в центре исследуемой квантовой системы [19]. В [20] оптические свойства с учетом примесных состояний исследовались в перспективных в настоящее время КЯ GaN–AlGaIn. Такие квантовые системы представляют интерес в связи с возможностью создания оптических приборов активных в голубой и ультрафиолетовой областях спектра. В [20], в частности, показано, что полуширина примесной люминесценции, определяемая переходом электрона с донорного состояния в валентную зону $\Delta_0 \approx 44$ meV ($T = 10$ К, $a = 50$ Å), и интенсивность излучения уменьшаются с ростом температуры, и при $T = 200$ К люминесценция практически исчезает. Последнее обстоятельство указывает на активизацию процессов безызлучательных (многофононных) переходов при высоких температурах.

Влияние внешнего магнитного поля на оптические характеристики легированных КЯ в ряде случаев является принципиально важным. Это связано с тем, что при направлении напряженности магнитного поля перпендикулярно поверхности КЯ, спектр свободного электрона становится полностью квантованным. Следовательно, процессы поглощения и излучения электромагнитной волны определяются переходами носителей между связанными состояниями и дискретными состояниями квантовой системы. Экспериментальные исследования процессов люминесценции, определяемой переходом электронов на локализованные состояния, при помещении квантовой системы во внешнее магнитное поле показали, что с ростом напряженности магнитного поля максимум люминесценции сдвигается в область высоких частот (в простых гетероструктурах [21], в сверхрешетках [22,23]), а полуширина $\Delta_0 \approx 2.7$ meV [7] при

низких температурах. В настоящей работе предлагается объяснение ряда экспериментальных данных по оптическим свойствам легированных размерно-ограниченных систем с привлечением идей многофононных оптических переходов.

1. Постановка задачи. Общие соотношения

Рассмотрим прямоугольную КЯ бесконечной высоты, легированную акцептором с энергией связи E_A , отсчитываемой от потолка валентной зоны трехмерного материала. Волновая функция и собственные значения энергии электрона в магнитном поле, напряженность \mathbf{H} которого направлена вдоль оси пространственного квантования Oz , имеют вид

$$\begin{aligned} \Psi_\alpha(\mathbf{r}) &= [L_x a R \sqrt{\pi} N! 2^{N-1}]^{-1/2} \sin\left(\frac{\pi \nu z}{a}\right) \exp(iK_x x) \\ &\times \exp\left[-\frac{1}{2R^2}(y + R^2 K_x)^2\right] H_N\left[\frac{y + R^2 K_x}{R}\right], \\ E_\alpha &= \hbar\omega_c(N + 1/2) + \varepsilon_0 \nu^2, \\ \varepsilon_0 &= \frac{\pi^2 \hbar^2}{2m_e a^2}, \quad R^2 = \frac{\hbar}{m_c \omega_c}. \end{aligned} \quad (1)$$

Здесь L_x — длина КЯ вдоль оси Ox , K_x — проекция волнового вектора электрона, $\alpha(N, \nu, K_x)$ — квантовые числа, определяющие состояние частицы, ω_c — циклотронная частота электрона, ε_0 — шаг пространственного квантования, a — толщина КЯ, m_e — эффективная масса электрона, $H_N(z)$ — полиномы Эрмита.

Нормированная волновая функция электрона, локализованного на акцепторе в модели потенциала нулевого радиуса [24], определяется соотношением

$$\Psi_A(\mathbf{r}) = A \sum_{\alpha} \frac{\Psi_\alpha(\mathbf{r}) \Psi_\alpha^*(z_0)}{E_A + \hbar\omega_\nu(N + 1/2) + \varepsilon \nu^2}, \quad \varepsilon = \frac{\pi^2 \hbar^2}{2m_\nu a^2}, \quad (2)$$

m_ν — эффективная масса дырки, ω_ν — циклотронная частота дырки.

При записи (2) предполагалось, что примесь локализована в точке с координатами $\mathbf{r}_0(0, 0, z_0)$. В дальнейшем рассмотрим глубокие акцепторные состояния $\hbar\omega_\nu/F_A < 1$. В этом случае

$$\begin{aligned} A^2 &= \frac{2\pi \hbar^4 K_0}{m_\nu^2} \frac{\text{sh}(K_0 a)}{\text{sh}[(K_0 a)(1 - (z_0/a))] \text{sh}(K_0 z_0)}, \\ E_A + (\hbar\omega_4/2) &\equiv \frac{\hbar^2 K_0}{2m_\nu}. \end{aligned}$$

Спектральная интенсивность излучения, определяемая переходом электрона из состояния (1) на акцепторный

уровень, связана с вероятностью перехода в единицу времени [25] и имеет вид

$$\begin{aligned} \Phi(\Omega) &= \frac{4\Omega^2 n_0}{V c^3} \left| \frac{\mathbf{P}_{cv} \mathbf{e}_0}{m_0} \right|^2 e^2 \sum_{S, \alpha} n_\alpha |I_{S, \alpha}|^2 \delta\{\hbar\omega_c(N + 1/2) \\ &+ \varepsilon_0 \nu^2 + E_g - E_A - \hbar\Omega\}. \end{aligned} \quad (3)$$

Здесь обозначено \mathbf{P}_{cv} — матричный элемент оператора импульса на блоховских амплитудах, \mathbf{e}_0 — вектор поляризации излучаемой электромагнитной волны частоты Ω , V — объем КЯ, m_0 — масса свободного электрона, c — скорость света, E_g — ширина запрещенной зоны размерно-ограниченной системы, n_0 — показатель преломления, n_α — функция распределения электронов. Для невырожденного электронного газа

$$\begin{aligned} n_\alpha &= 4\pi a R^2 \text{sh}(\beta \hbar\omega_c/2) \\ &\times \exp\{-\beta[\hbar\omega_c(N + (1/2)) + \varepsilon_0 \nu^2]\} D^{-1}, \\ D &= \sum_{\nu=1}^{\infty} \exp\{-\beta \varepsilon_0 \nu^2\}, \end{aligned} \quad (4)$$

n_e — концентрация электронов.

Интеграл перекрытия волновых функций начального (1) и конечного (2) состояний легко вычисляется,

$$\begin{aligned} I_{S, \alpha} &= \int \Psi_A^*(\mathbf{r}) \Psi_\alpha(\mathbf{r}) = A \left[\frac{2}{L_x a R \sqrt{\pi}} \right]^{1/2} \\ &\times \frac{\sin\left(\frac{\pi z_0}{a} \nu\right) \exp\left[-\frac{1}{2}(RK_x)^2\right] H_N(RK_x)}{[E_A + \hbar\omega_\nu(N + \frac{1}{2}) + \varepsilon \nu^2]}. \end{aligned} \quad (5)$$

Как непосредственно следует из теории многофононных оптических переходов [26,27], для расчета спектральной интенсивности излучения с учетом колебаний в соотношении (3) необходимо сделать замену

$$\begin{aligned} \delta\{\hbar\omega_c(N + 1.2) + \varepsilon_0 \nu^2 + E_g - E_A - \hbar\Omega\} &\rightarrow \frac{1}{2\pi \hbar} \\ &\times \int_{-\infty}^{\infty} dt \exp\left\{\frac{it}{\hbar} [\hbar\omega_c(N + (1/2)) + E_g - E_A - \hbar\Omega] - g(t)\right\}, \end{aligned} \quad (6)$$

$$\begin{aligned} g(t) &= \frac{it}{\hbar} \sum_{\mathbf{q}} \frac{|V_{qss}|^2}{\hbar\omega_q} + \sum_{\mathbf{q}} \frac{|V_{qss}|^2}{(\hbar\omega_q)^2} [(2N_q + 1) \\ &+ i \sin(\omega_q t) - (2N_q + 1) \cos(\omega_q t)], \\ V_{qss} &= C_q \int |\Psi_A(\mathbf{r})|^2 \exp(i\mathbf{q}\mathbf{r}) d\mathbf{r}, \end{aligned}$$

$$N_q = [\exp(\beta \hbar\omega_q - 1)]^{-1}, \quad \beta = 1/(k_0 T), \quad (7)$$

C_q — коэффициентная функция электрон-фононного взаимодействия, $\hbar\omega_q$ — энергия фонона с волновым вектором \mathbf{q} . Рассмотрим такие температуры, при которых

$4\varepsilon_0 \gg k_0T$, поэтому оптические переходы происходят из низшего размерно-квантованного уровня ($\nu = 1$). С учетом (4), (5) и (6) спектральная интенсивность излучения (3) принимает вид

$$\Phi(\Omega) = F(z_0)\Phi_0 \sum_N \left(\frac{\hbar\Omega}{E_A + \hbar\omega_\nu(N + (1/2)) + \varepsilon} \right)^2 \times \exp[-\beta\hbar\omega_c(N + (1/2))] I(\Omega, N). \quad (8)$$

Здесь $I(\Omega, N)$ — характеристическая функция, возникающая в теории оптических многофононных переходов

$$I(\Omega, N) = \int_{-\infty}^{\infty} dt \exp \left\{ \frac{it}{\hbar} [\hbar\omega_c(N + (1/2)) + \varepsilon_0 + E_g - E_A - \hbar\Omega] - g(t) \right\},$$

$$\Phi_0 = \frac{2^4 \hbar n_0 e^2 n_A n_e}{c^3 a m_\nu^2} \left| \frac{\mathbf{p}_{cv} \mathbf{e}_0}{m_0} \right|^2 \text{sh}(\beta\hbar\omega_c/2),$$

$$F(z_0) = \frac{\sin^2(\pi z_0/a) \text{sh}(K_0 a) K_0 a}{\text{sh}[(1 - z_0/a) K_0 a] \text{sh}(K_0 z_0)}, \quad (9)$$

n_A — концентрация акцепторов в КЯ.

В отсутствие магнитного поля расчеты приводят к следующему выражению для спектральной интенсивности излучения с учетом многих фононов:

$$\Phi^{(0)}(\Omega) = F(z_0)\Phi^{(0)}I(\Omega, 0),$$

$$\Phi^{(0)} = \frac{2n_0 e^2 \hbar n_e n_A}{c^3 a m_\nu^2} \left| \frac{\mathbf{p}_{cv} \mathbf{e}_0}{m_0} \right|^2 \left(\frac{\hbar\Omega}{E_A} \right)^2. \quad (10)$$

$I(\Omega, 0)$ определяется соотношением (9), в котором $\hbar\omega_c = 0$. При записи (10) предполагалось, что $E_A \gg k_0T$ и переходы электрона на связанные состояния происходят из нижайшего размерно-квантованного состояния зоны проводимости ($\nu = 1$).

2. Обсуждение результатов. Сравнение теории с экспериментом

Для случая взаимодействия локализованного электрона с оптическими колебаниями с энергией $\hbar\omega_0$ (ω_0 — предельная частота оптического фонона) (7) можно представить в виде

$$g_{\text{оп}}(t) = it\omega_0 a_0 + z \cos(\omega_0 t + \varphi) + a_0(2N + 1),$$

$$a_0 = \sum_{\mathbf{q}} \frac{|V_{qss}|^2}{(\hbar\omega_0)^2}, \quad z = 2a_0 \sqrt{N(N+1)},$$

$$\text{tg } \varphi = \frac{-i}{2N+1}, \quad (11)$$

N — функция распределения равновесных оптических фононов. Если воспользоваться соотношением [28]

$$\exp(z \cos \alpha) = \sum_{n=-\infty}^{\infty} I_n(z) \exp(in\alpha),$$

($I_n(z)$ — модифицированная функция Бесселя), то спектральная интенсивность излучения (10) с учетом (11) принимает следующий вид:

$$\Phi^{(0)}(\Omega) = F(z_0)\Phi^{(0)} \frac{\hbar}{\omega_0} \sum_n I_n(z) \exp[-a_0(2N+1)] \times \exp(\beta\hbar\omega n/2) \delta(\Delta - n\hbar\omega_0),$$

$$\Delta = \varepsilon_0 + E_g - \hbar\omega_0 a_0 - E_A - \hbar\Omega \geq 0. \quad (12)$$

Как непосредственно следует из (12), частотная зависимость $\Phi^{(0)}$ представляет собой набор δ -образных пиков (при $z < 1$), расстояние между которыми равно энергии предельного оптического фонона.

Если учесть взаимодействие электрона с акустическими фононами, то при квазиклассическом описании длинноволновых колебаний (соответствующие критерии подробно обсуждаются в [29]) $g(t)$ можно разложить в ряд по t и ограничиться квадратичными членами. В результате

$$g(t) = \frac{1}{2\hbar^2} \sum_{\mathbf{q}} |V_{qss}|^2 (2N_{\mathbf{q}} + 1) t^2 \equiv B t^2. \quad (13)$$

Подстановка (13) в (10) приводит к следующему выражению для спектральной интенсивности излучения:

$$\Phi^{(0)}(\Omega) = F(z_0)\Phi^{(0)} \sqrt{\frac{\pi}{B}} \exp \left\{ -\frac{(\varepsilon_0 + E_g - E_A - \hbar\Omega)^2}{4\hbar^2 B} \right\}, \quad (14)$$

откуда видно, что частотная зависимость $\Phi^{(0)}(\Omega)$ описывается гауссовой кривой с полушириной

$$\Delta_0 = 4\hbar\sqrt{B \ln 2}. \quad (15)$$

Следовательно, согласно (12) и (14), при $z \leq 1$ интенсивность излучения с учетом многих оптических и акустических фононов как функция частоты описывается набором гауссовых кривых с полушириной Δ_0 . Расстояние между максимумами этих кривых равно предельной частоте оптического фонона $\hbar\omega_0$. Такие фононные спутники наблюдались ([20]) в КЯ GaN–AlGaN ($a = 25 \text{ \AA}$).

Для оценки полуширины Δ_0 используем для глубоких акцепторных состояний модель потенциала нулевого радиуса [24], широко используемую в настоящее время в физике твердого тела. Волновая функция связанного состояния в модели прямоугольной КЯ с бесконечными стенками определяется соотношением

$$\Psi_A(\mathbf{r}) = \frac{2}{a} \frac{1}{L_x L_y} C \sum_{\nu} \frac{\exp[i(\mathbf{K}_{\perp} \boldsymbol{\rho})] \sin(\pi z \nu / a) \sin(\pi z_0 \nu / a)}{E_A + \frac{\hbar^2 K_{\perp}^2}{2m_{\nu}} + \varepsilon \nu^2},$$

$$K_{\perp}^2 = K_x^2 + K_y^2, \quad (\mathbf{K}_{\perp} \boldsymbol{\rho}) = K_x x + K_y y. \quad (16)$$

При записи предполагалось, что примесь расположена в точке с координатами $\mathbf{r}(0, 0, z_0)$. Если в (16) провести суммирование по K_{\perp} , то

$$\Psi_A(\mathbf{r}) = \frac{2}{a} \frac{cm_v}{a\hbar^2} \sum_{\nu=1}^{\infty} \sin(\pi z\nu/a) \sin(\pi z_0\nu/a) \times K_0 \left[\rho \sqrt{\frac{2m_v}{\hbar^2} (E_A + \varepsilon_0\nu^2)} \right].$$

С ростом ν аргумент функции Макдональда $K_0(z)$ увеличивается, поэтому для дальнейших качественных оценок ограничимся случаем $\nu = 1$. Последнее приближение вполне справедливо для узких КЯ, когда $E_A/\varepsilon_0 < 1$. В результате нормированная волновая функция принимает вид

$$\Psi_A(\mathbf{r}) = \sqrt{\frac{2\pi^2\xi}{a^3}} \sin(\pi z/a) K_0 \left[\frac{\pi\rho}{a} \xi \right], \quad \xi = \sqrt{1 + E_A/\varepsilon_0}. \quad (17)$$

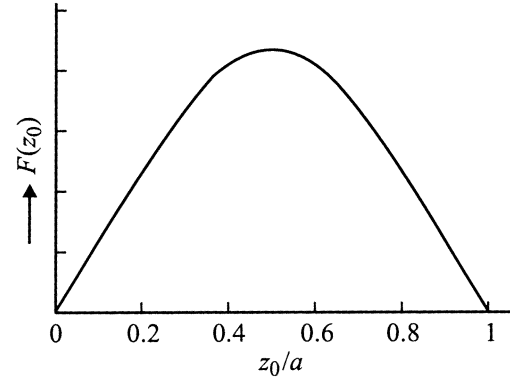
Волновая функция (17) представляет собой произведение волновой функции одномерного движения вдоль оси размерного квантования и волновой функции связанного состояния для потенциала примесных центров нулевого радиуса в двумерных системах [30]. Функция (17) близка к волновой функции для акцептора, используемой при оценке сечений рассеяния горячих электронов нейтральными акцепторами в структурах с КЯ [31]. Если рассматривать температуры, при которых $N_q \approx k_0T/(\hbar wq) > 1$ ($\hbar wq$ — энергия акустического фонона), то расчет B , согласно (13), проводится непосредственно. В результате

$$B \approx \frac{3\pi}{2} \frac{k_0TE_1^2}{\rho_0w^2\hbar^2a^3} \xi^2. \quad (18)$$

Здесь E_1 — константа деформационного потенциала для дырки, ρ_0 — плотность кристалла, w — скорость звука. Следовательно, полуширина линий излучения (15) определяется соотношением

$$\Delta_0 = 4\xi \sqrt{\frac{3\pi k_0TE_1^2}{\rho_0w^2a^3}}. \quad (19)$$

Для типичных КЯ GaAs–AlGaAs ($E_1 = 10$ eV, $\rho_0 = 5.4$ g/cm³, $w = 3 \cdot 10^5$ cm/s) с $E_A = 60$ meV при $a = 20$ Å ($\varepsilon_0 \approx 200$ meV) $\Delta_0 \approx 5.3\sqrt{T}$. Следовательно, при $T = 180$ K $\Delta_0 \approx 70$ meV, что близко к экспериментальным данным работы [1]. С ростом температуры полуширина увеличивается и, следовательно, интенсивность излучения (14) уменьшается, что наблюдается в экспериментальных исследованиях [1,2,20]. Функция $F(z_0)$ определяет зависимость величины интенсивности излучения от положения δ -легированной в КЯ примеси. На рисунке приведена зависимость $F(z_0)$ от z_0/a (при $Ka = 1$). Вид $F(z_0)$ слабо меняется при изменении Ka в широких пределах (от 1 до 0.1). Как непосред-



Зависимость $F(z_0)$ от положения примеси в квантовой яме.

ственно следует из рисунка, максимальным примесное излучение будет в случае, когда акцептор находится в центре КЯ и уменьшается при приближении акцептора к границе размерно-ограниченной системы. Последнее обстоятельство связано с тем, что при удалении связанного состояния от центра КЯ перекрывание волновых функций зонного электрона и локализованного состояния уменьшается. Такое немонотонное поведение $\Phi^{(0)}(\Omega)$ от положения примеси наблюдалось экспериментально в простых гетероструктурах GaAs–Al_xGa_{1-x}As, δ -легированных акцепторами [7]. Заметим, что при приближении примеси к поверхности КЯ E_A приближается к потолку валентной зоны и, следовательно, ξ становится меньше, что приводит к уменьшению Δ_0 . Возможно, предложенным многофононным механизмом уширения линий люминесценции можно качественно понять такое поведение полуширины линий люминесценции от z_0 , экспериментально наблюдаемое в [7].

В присутствии продольного магнитного поля при квазиклассическом описании колебаний кристаллической решетки спектральная интенсивность излучения, согласно (8), определяется соотношением

$$\Phi(\Omega) = F(z_0)\Phi_0 \sum_N \left(\frac{\hbar\Omega}{E_A + \hbar\omega_c(N + 1/2) + \varepsilon_0} \right)^2 \times \exp \left[-\beta\hbar\omega_c(N + (1/2)) \right] \sqrt{\frac{\pi}{B}} \times \exp \left\{ -\frac{[\hbar\omega_c(N + 1/2) + \varepsilon_0 + E_g - E_A - \hbar\Omega]}{4B\hbar^2} \right\}. \quad (20)$$

Следовательно, в рассмотренных выше приближениях линия люминесценции описывается гауссовой кривой с полушириной, определяемой соотношением (15). Максимум люминесценции с ростом магнитного поля сдвигается в коротковолновую область, что связано с квантованием в магнитном поле. Последнее обстоятельство наблюдается в различных квазидвумерных системах [21–23].

Список литературы

- [1] M. Haefner, L. Lehmann, R. Mitdank, G. Oelgart, E. Schulze. *Phys. Stat. Sol. (a)* **122**, 683 (1990).
- [2] M. Gurioli, A. Vinattieri, M. Colocci. *Appl. Phys. Lett.* **59**, 2150 (1991).
- [3] А.С. Игнатъев, М.В. Карачевцева, В.Г. Макаров, Г.З. Немец, В.А. Страхов, Н.Г. Яременко. *ФТП* **28**, 125 (1994).
- [4] Y.H. Zhang, N.N. Ledentsov, K. Ploog. *Phys. Rev.* **B41**, 1339 (1991).
- [5] J.A. Kash, E.E. Mendez, H. Morkoc. *Appl. Phys. Lett.* **46**, 173 (1985).
- [6] D.W. Lui, X.M. Xu, Y.F. Chen. *Phys. Rev.* **B49**, 4640 (1994).
- [7] I.V. Kukushkin, K. von Klitzing, K. Ploog, V.B. Timofeev. *Phys. Rev.* **B40**, 7788 (1989).
- [8] А.Ф. Дите, К. фон Клитцинг, И.В. Кукушкин, Б.В. Тимофеев, А.И. Филин. *Письма в ЖЭТФ* **54**, 393 (1991).
- [9] J.L. Bradshaw, W.J. Choyke, R.P. Devaty, R.L. Messham. *Journal of Luminescence* **47**, 249 (1991).
- [10] О.В. Волков, И.В. Кукушкин, К. фон Клитцинг, К. Эберле. *Письма в ЖЭТФ* **68**, 223 (1998).
- [11] R.G. Ulbrich, J.A. Kash, J.C. Tsang. *Phys. Rev. Lett.* **62**, 949 (1989).
- [12] В.Р. Zakharchenya, P.S. Kor'ev, D.N. Mirlin, D.G. Palakov, I.I. Reshina, V.F. Sapega, A.A. Sizenko. *Solid State Commun.* **69**, 203 (1989).
- [13] B.J. Skromme, R. Bhat, M.A. Koza, S.A. Schwarz, T.S. Rovi, D.M. Hwang. *Phys. Rev. Lett.* **65**, 2050 (1990).
- [14] П.С. Копьев, Д.Н. Мирлин, Д.Г. Поляков, И.И. Решина, В.Ф. Сапега, А.А. Сиренко. *ФТТ* **24**, 1200 (1990).
- [15] L.V. Dao, M. Gal, G. Li, C. Jagadish. *Appl. Phys. Lett.* **71**, 1849 (1997).
- [16] L.E. Oliveria, J. Lopez-Condor. *Phys. Rev.* **B41**, 3719 (1990).
- [17] Rosana B. Santiago, J. d'Albuquerque e Castro, Luiz E. Oliveira. *Phys. Rev.* **B48**, 4498 (1993).
- [18] А.А. Афоненко, В.К. Каноненко, И.С. Манак, В.А. Шевцов. *ФТП* **31**, 1087 (1997).
- [19] G.C. Rune, P.O. Holtz, M. Sudaram, J.L. Merz, A.C. Gossard. *Phys. Rev.* **B44**, 4010 (1991).
- [20] K.C. Zeng, J.Y. Lin, H.X. Jiang, A. Salvador, G. Popovichi, H. Tang, W. Kim, H. Morkoc. *Appl. Phys. Lett.* **71**, 1368 (1997).
- [21] A.S. Plant, I.V. Kukushkin, K. von Klitzing, K.P. Ploog. *Phys. Rev.* **B42**, 5744 (1990).
- [22] B.J. Skromme, R. Bhat, M.A. Koza. *Solid State Commun.* **66**, 543 (1988).
- [23] D. Gekhtman, J.A. Kash, E. Cohen, Arza Ron. *Phys. Rev.* **B54**, 2756 (1996).
- [24] Ю.Н. Демков, В.Н. Островский. *Метод потенциалов нулевого радиуса в атомной физике*. Л. (1975).
- [25] А.П. Леванюк, В.В. Осипов. *УФН* **133**, 427 (1981).
- [26] Ю.Е. Перлин. *УФН* **80**, 4, 553 (1963).
- [27] В.А. Коварский. *Многочастичные переходы*. Штиинца, Кишинев (1974). 228 с.
- [28] И.С. Градштейн, И.М. Рыжик. *Таблицы интегралов, сумм, рядов и произведений*. Наука, М. (1971).
- [29] Ю.Е. Перлин, Б.С. Цукерблат. *Эффекты электронно-колебательного взаимодействия в оптических спектрах примесных парамагнитных ионов*. Штиинца, Кишинев (1976).
- [30] Э.П. Синявский. *Изв. АН РМ. Сер. Физика и техника* **1(7)**, 12 (1992).
- [31] Д.Н. Мирлин, В.И. Перель, И.И. Решина. *ФТП* **32**, 866 (1998).